

# 纳米颗粒包覆 $\text{ZrW}_2\text{O}_8$ 空心结构的制备和性能\*

张琳达<sup>1</sup> 王浩伟<sup>1</sup> 齐军<sup>2</sup> 吴一<sup>1</sup> 彭思平<sup>3</sup>

1. 上海交通大学特种材料研究所 上海 200240

2. 上海紫竹新兴产业技术研究院 上海 200240

3. 上海无线电设备研究所 上海 200090

**摘要** 采用包覆法制备单一相钨酸锆( $\text{ZrW}_2\text{O}_8$ )空心球。研究选择以水热合成法制备的胶体碳球作为制备空心球的模板,通过溶胶-凝胶法制备了具有网状结构的钨酸锆前驱体凝胶,经过后续简单的包覆过程得到胶体碳球-钨酸锆凝胶形成的壳核结构,并对该壳核结构进行煅烧(610℃保温10 h)后除去碳球模板得到 $\text{ZrW}_2\text{O}_8$ 空心球。实验所得 $\text{ZrW}_2\text{O}_8$ 空心球平均粒径约3 μm,球壳平均厚度为1.5 μm,构成壳层结构的纳米级 $\text{ZrW}_2\text{O}_8$ 颗粒为棒状无规则多面体,尺寸约500 nm×50 nm×50 nm。FTIR和TG-DTA分析证明,产物为立方相 $\text{ZrW}_2\text{O}_8$ 空心球,密度为2.8 g/cm<sup>3</sup>,比理论值降低了45%;产物空心球具有良好的负热膨胀特性,在室温至200℃的温度区间内,负膨胀系数略低于理论值,平均热膨胀系数为 $-11.4 \times 10^{-6} \text{K}^{-1}$ 。

**关键词** 无机非金属材料, 胶体碳球, 纳米颗粒包覆, 负膨胀,  $\text{ZrW}_2\text{O}_8$

分类号 TQ174

文章编号 1005-3093(2015)10-0773-06

## Preparation and Properties of $\text{ZrW}_2\text{O}_8$ Hollow Structures Coated with Colloidal Carbon Spheres

ZHANG Linda<sup>1</sup> WANG Haowei<sup>1</sup> QI Jun<sup>2</sup> WU Yi<sup>1\*</sup> PENG Siping<sup>3</sup>

1. Research Center of Special Materials, Shanghai Jiao Tong University, Shanghai 200240, China

2. Advanced Industrial Technology Research Institute (AITRI), Shanghai 200240, China

3. Shanghai Radio Equipment Institute, Shanghai 200090, China

\*Supported by CASC Innovation Fund No. 201106 and CAST Innovation Fund No. 2012-08.

Manuscript received October 15, 2014; in revised form December 18, 2014.

\*\*To whom correspondence should be addressed, Tel: (021)34202534-202, E-mail: eagle51@126.com

**ABSTRACT** Colloidal carbon microspheres were prepared from aqueous glucose solutions by hydrothermal synthesis procedure, and then submicron core/shell structured precursors of carbon spheres/ $\text{ZrW}_2\text{O}_8$  were prepared by sol-gel method with colloidal carbon microspheres as templates to provide reactive surfaces for facilitating the deposition of nano-sized  $\text{ZrW}_2\text{O}_8$  particles. Finally, hollow spheres of  $\text{ZrW}_2\text{O}_8$  can be produced by calcinating the precursors at 610℃ for 10h to remove the colloidal carbon sphere templates. The final spheres  $\text{ZrW}_2\text{O}_8$  with an average size about 3μm were proved to be composed of single phase nano-sized  $\text{ZrW}_2\text{O}_8$  particles. Their density was measured to be 2.8 g/cm<sup>3</sup>, ca 45% lower than that of  $\text{ZrW}_2\text{O}_8$ . Along with the density, FTIR and TG-DTA results also indicate the existence of hollow structure of the spheres  $\text{ZrW}_2\text{O}_8$ , of which the thermal expansion coefficient was  $-11.4 \times 10^{-6} \text{K}^{-1}$  in the temperature range from room temperature to 200℃, a little higher than the theoretical value.

**KEY WORDS** inorganic non-metallic materials, colloidal carbon spheres, nano-layered structures, NTE,  $\text{ZrW}_2\text{O}_8$

随着材料应用领域的不断扩展,对其性能的要求越来越高。除了要求材料具有优异的机械性能外,对其热性能的要求也越来越高,特别是对其尺寸稳定性的要求。为了使材料满足对其热几何稳定性

级抗热冲击性能的特殊要求,研发低热膨胀材料和零膨胀材料成为材料研究领域的一个新分支<sup>[1]</sup>。负热膨胀(Negative thermal expansion, 简称NTE)材料,即随着外界温度的升高而体积收缩的材料,作为添加相与正热膨胀材料基体复合则可制备出热膨胀系数可控的复合材料。这种可控热膨胀系数的复合材料可用于高精度的光学系统、光纤系统、电学器件,以及用于 Bragg 光栅的热封装材料<sup>[2]</sup>。立方相的

\* 航天科技创新基金 USCAST2012-08, CASC201106 资助项目。

2014年10月15日收到初稿;2014年12月18日收到修改稿。

本文联系人: 吴一

NTE材料 $\text{ZrW}_2\text{O}_8$ 在 $-273^\circ\text{C}$ 到 $777^\circ\text{C}$ 的温区表现出各向同性,且具有较大的负膨胀系数( $-8.9\times 10^{-6}\text{K}^{-1}$ ),这种优异的性质为其广泛应用奠定了基础<sup>[3, 4]</sup>。 $\text{ZrW}_2\text{O}_8$ 热力学稳定的温度范围窄,只在 $1105\text{--}1257^\circ\text{C}$ 之间热力学稳定,在 $780\text{--}1105^\circ\text{C}$ 分解成 $\text{ZrO}_2$ 和 $\text{WO}_3$ ,而高于此温则形成 $\text{ZrO}_2\text{--WO}_3$ 无定形玻璃态<sup>[5]</sup>。因此,用固相反应合成需在高温下长时间反应。此外,因为 $\text{WO}_3$ 在高温下易挥发,难以制备单一相 $\text{ZrW}_2\text{O}_8$ 。用湿化学法易实现成分均匀,其工艺也能可靠控制。制备 $\text{ZrW}_2\text{O}_8$ 粉体及薄膜的方法,主要有固相法、溶胶-凝胶法、燃烧法、微波法、化学共沉淀法和水热合成法等。用溶胶-凝胶法可合成 $\text{ZrW}_2\text{O}_8$ 粉体及薄膜,使反应物在分子水平上混合,并可降低反应温度、提高产物的纯度<sup>[6]</sup>。

尽管 $\text{ZrW}_2\text{O}_8$ 具有许多优异的性质,但是应用于航空航天领域时还须保证其热几何稳定性和轻量化。 $\text{ZrW}_2\text{O}_8$ 粉体密度达到 $5.08\text{ g/cm}^3$ <sup>[7]</sup>,接近一般作为基体材料的铝的两倍。因此,制备体积大、重量轻的 $\text{ZrW}_2\text{O}_8$ 空心球结构,可在保证热膨胀系数的同时降低复合材料密度,实现轻量化。制备空心球的主要方法,包括物理方法和化学方法,其中物理方法有溶剂法、溶胀法、吹气插入法等;化学方法则主要包括模板法、微乳液法、溶胶凝胶法、水热法等<sup>[8-11]</sup>。模板法简单易行,可牺牲模板成为制备空心球的主要方法,常用的模板包括胶球、微乳液、聚合物胶束等。Caruso<sup>[12, 13]</sup>以PSt乳胶粒子为模板,依靠静电相互作用,将 $\text{SiO}_2$ 纳米粒子与PDADMAC通过静电自组装交替包覆于外层得到理想壳层厚度的核壳粒子,再将PSt模板溶解去模得到 $\text{SiO}_2$ 空心球。Peng等<sup>[14]</sup>以 $\text{SiO}_2$ 胶体晶阵列为模板,先渗入St单体聚合并以氢氟酸提取 $\text{SiO}_2$ 胶粒,得到三维中孔有序阵列PSt模块后以钛醇盐的水解产物 $\text{TiO}_2$ 附在模块表面,溶解模块后得到 $\text{TiO}_2$ 空心球的三维阵列。Shiho<sup>[15]</sup>以PSt为模板粒子,以 $\text{FeCl}_3$ 为铁源、尿素为沉淀剂、PVP作稳定剂,制备出金属Fe空心球。用这些物质作为模板制备空心球,均需对其进行表面处理修饰,且包覆过程复杂,同时需要使用有机溶剂、稳定剂与活性剂等。而胶体碳球由于自身优异的性质,作为模板广泛用于制备空心球结构<sup>[16]</sup>。

与传统模板相比,胶体碳球模板的合成方法简单,以葡萄糖或蔗糖作为前驱物在合成过程中无需使用有机溶剂、引发剂和表面活性剂;改变粒径、化学组成、结构、结晶度等参数即可优化碳球自身性质;碳球表面结构与多糖类似,分布有大量羟基和羧基等活性官能团,具有良好的亲水性;碳球模板可在

空气或氧气中煅烧除去<sup>[17-19]</sup>。以碳球为模板已经制备出 $\text{W}_2\text{O}_3$ ,  $\text{GaN}$ ,  $\text{Ga}_2\text{O}_3$ ,  $\text{SnO}_2$ ,  $\text{Al}_2\text{O}_3$ <sup>[20-23]</sup>。本文以葡萄糖为碳源水热合成胶体碳球,并以其为模板用溶胶凝胶法制备 $\text{ZrW}_2\text{O}_8$ 中空结构,并研究其性能。

## 1 实验方法

### 1.1 胶体碳球的制备

将6 g无水葡萄糖(国药化学试剂)溶于40 mL去离子水中,搅拌30 min后移入50 mL水热反应釜(聚四氟乙烯衬套)中,在 $200^\circ\text{C}$ 反应4 h后冷却至室温,得到棕色胶体溶液产物。分别用去离子水和无水乙醇将产物离心洗涤各3次,超声分散后移入培养皿中,并在 $80^\circ\text{C}$ 烘干5 h。

### 1.2 $\text{ZrW}_2\text{O}_8$ 空心球的制备

反应原料为分析纯八水氧氯化锆( $\text{ZrOCl}_2\cdot 8\text{H}_2\text{O}$ )、阿拉丁和偏钨酸铵( $(\text{NH}_4)_6\text{W}_{12}\text{O}_{39}\cdot x\text{H}_2\text{O}$ , 阿法埃莎)。按照W与Zr的化学计量比为2:1称取适量的 $(\text{NH}_4)_6\text{W}_{12}\text{O}_{39}$ 与 $\text{ZrOCl}_2\cdot 8\text{H}_2\text{O}$ ,分别配制成1 mol/L和0.5 mol/L的溶液50 mL。在磁力搅拌条件下同时将两溶液向25 mL去离子水中缓慢滴加,立即析出白色沉淀。持续搅拌10 h后向该混合液中加入6 mol/L的盐酸125 mL,回流48 h。冷却至室温后倒出上层多余清液,并过滤余下液体,然后在室温静置7 d成胶。加入适量胶体碳球并搅拌,在室温下静置12 h并进行离心分离,再移入 $60^\circ\text{C}$ 烘箱中,干燥后得到钨酸锆前驱体包覆碳球的壳核结构。将前驱体粉末装入氧化铝坩埚中置于马沸炉内煅烧,以使其水分与其他易挥发物质完全挥发。煅烧时,升温速率为 $1^\circ\text{C}/\text{min}$ ,在 $500^\circ\text{C}$ 保温约2 h,继续升温至 $610^\circ\text{C}$ 保温10 h。

### 1.3 材料的表征

用TA Q600综合热分析仪(TA)对25 mg样品进行热重-差热分析(TG-DTA),以氩气作为保护气氛,升温速率为 $10^\circ\text{C}/\text{min}$ 。用FEI Sirion20扫描电子显微镜(SEM)观察分析样品像形貌。用Bruker D8 Advance X射线粉末衍射仪(XRD)测定样品物相结构, $\text{CuK}\alpha$ ,以 $10^\circ/\text{min}$ 速率连续扫描;用高温X射线衍射仪分别测定室温、样品的衍射图,计算不同温度下的晶胞参数,连续扫描速率为 $5^\circ/\text{min}$ 。用波数范围为 $4000\text{--}400\text{ cm}^{-1}$ 的Nicolet 6700傅里叶变换红外光谱仪(FTIR)鉴定模板的官能团。用DX-120T型粉末密度计测试粉末的真实密度。

## 2 结果和讨论

### 2.1 胶体碳球/ $\text{ZrW}_2\text{O}_8$ 的形貌

图1给出了胶体碳球的SEM像,可见胶体碳球



是表面光滑均匀的球体, 平均粒径在  $1.5\ \mu\text{m}$  左右。在水热条件下胶体碳球的生长遵循 Lamer 模式<sup>[24]</sup>, 即葡萄糖分子间将首先脱水聚合成链的芳香化合物和低聚糖。当溶液达到临界过饱和状态时在瞬间爆发性形核。在线性或枝状低聚糖分子间因脱水而引起交联反应, 最终使体系发生碳化并团聚成球。此后, 溶液中的溶质不断向核的表面扩散, 所形成的晶核各向同性生长, 并最终达到所需的尺寸<sup>[16]</sup>。使用传统的模板制备空心球时, 往往需要对模板进行表面改性处理, 而胶体碳球的表面结构与多糖类似, 分布有大量的羟基与羰基, 具有良好的亲水性, 无需进行表面改性处理即可作为模板。胶体碳球分散到溶液中后, 溶液中的前驱物极易吸附到碳球的表面上。

图 2 给出了  $\text{ZrW}_2\text{O}_8$  空心球的 SEM 像, 可见  $\text{ZrW}_2\text{O}_8$  空心球直径在  $3\ \mu\text{m}$  左右,  $\text{ZrW}_2\text{O}_8$  壳层较厚。构成壳层网络结构的纳米级微粒为棒状活不规则多面体, 颗粒尺寸约  $500\ \text{nm} \times 50\ \text{nm} \times 50\ \text{nm}$ 。经测定, 所得  $\text{ZrW}_2\text{O}_8$  空心球密度为  $2.8\ \text{g/cm}^3$ , 减小约 45%。

## 2.2 胶体碳球/ $\text{ZrW}_2\text{O}_8$ 的红外光谱分析

图 3a 为胶体碳球的红外光谱, 图中  $3429\ \text{cm}^{-1}$  对应—OH 的吸收峰,  $1026\ \text{cm}^{-1}$  对应 C—OH 吸收峰, 表明在胶体碳球表面有大量羟基;  $1700\ \text{cm}^{-1}$  对应 C=O 的伸缩振动;  $1623\ \text{cm}^{-1}$  对应着共轭烯烃骨架振动; 而在  $1508$  与  $1384\ \text{cm}^{-1}$  位置处的吸收峰则表明葡萄糖水解过程中出现了芳香化。此外, 在  $2367/2359\ \text{cm}^{-1}$  处出现的吸收峰可能对应着碳碳三键。图 3b 和 c 分别为胶体碳球— $\text{ZrW}_2\text{O}_8$  壳核结构及  $\text{ZrW}_2\text{O}_8$  空心球的红外光谱。比较胶体碳球与  $\text{ZrW}_2\text{O}_8$  球的红外光谱, 可见包覆前后胶体碳球表面官能团红外吸收变化不大。在胶体碳球— $\text{ZrW}_2\text{O}_8$  壳核结构的红外光谱中,  $3328\ \text{cm}^{-1}$  附近对应着—OH 的伸缩振动,  $1401\ \text{cm}^{-1}$  处出现结构水—OH 的弯曲振动峰,  $1649\ \text{cm}^{-1}$  存在 C=C。同时,  $960$ 、 $851$ 、 $749$  与  $652\ \text{cm}^{-1}$  处表明存在 W—O, 可能是因 C 的影响而发生了偏移。在  $\text{ZrW}_2\text{O}_8$  空心球球的红外光谱中, 可见  $3448\ \text{cm}^{-1}$  为  $\text{ZrW}_2\text{O}_8$  表面物理吸附水 O—H 的伸缩振动,  $1428\ \text{cm}^{-1}$  附近的峰为 O—H 的弯曲振动。位于  $997$ 、 $908$  和  $876\ \text{cm}^{-1}$  位置的峰可以认为对应于  $\text{WO}_4$  四面体的对

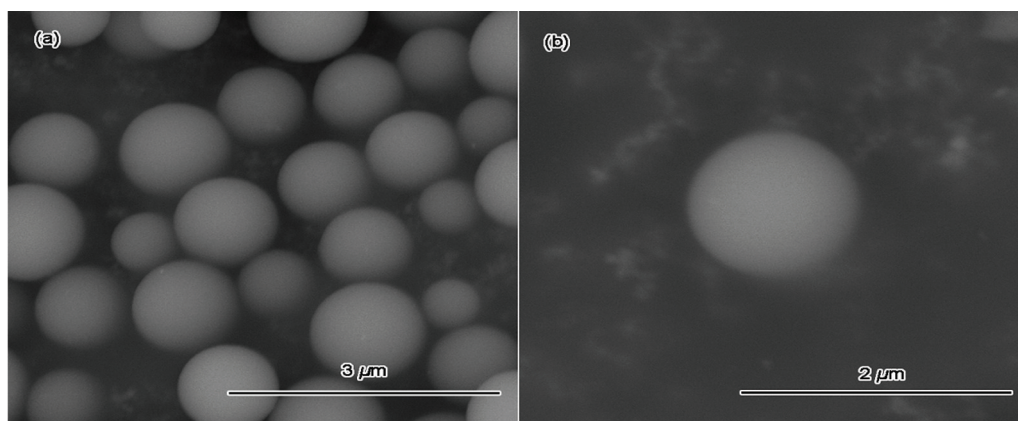


图 1 胶体碳球的 SEM 像

Fig.1 SEM images of colloidal carbon spheres

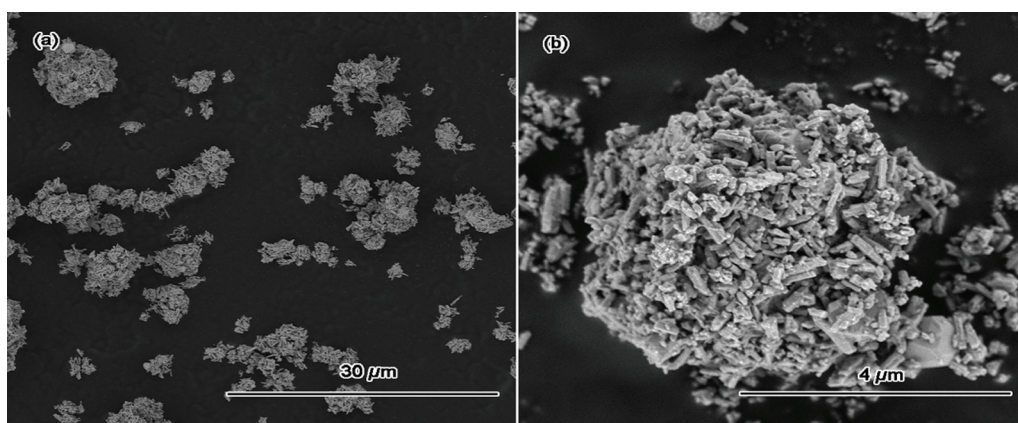


图 2 用溶胶-凝胶法制备的  $\text{ZrW}_2\text{O}_8$  空心球的 SEM 像

Fig.2 SEM images of  $\text{ZrW}_2\text{O}_8$  hollow spheres prepared by sol-gel methods

称伸缩振动,而 803、741、699 和 648  $\text{cm}^{-1}$  位置的峰则表明存在  $\text{WO}_4$  不对称伸缩振动。在 500  $\text{cm}^{-1}$  附近的宽峰则对应着  $\text{ZrO}_2$  的点阵振动模式<sup>[25]</sup>。根据图 4 空心球结构的 XRD 谱可以判断,反应产物为单一相  $\text{ZrW}_2\text{O}_8$ 。

### 2.3 $\text{ZrW}_2\text{O}_8$ 前驱体的热重 - 差热分析

图 5 给出了合成的  $\text{ZrW}_2\text{O}_8$  前驱体从室温至 800 $^{\circ}\text{C}$  的 TG - DTA 曲线。曲线对应着样品的两个明显的质量损失。从室温至 233 $^{\circ}\text{C}$  质量损失约 12.7%, 233 至 565.9 $^{\circ}\text{C}$  质量损失 6.7%。根据 DSC 曲线,第一个明显的失重区间对应两个吸热峰: 图中 73.4 $^{\circ}\text{C}$  的位置出现一个吸热峰, 对应前驱体失去吸附水; 而在 187.7 $^{\circ}\text{C}$  出现一个尖锐的吸热峰, 试样的质量明显减少。其原因是, 在此温度附近前驱体失去结晶水, 且可能伴随有非晶相物质的挥发。第二个失重区间对

应 3 个放热峰: 在 479.0 $^{\circ}\text{C}$  出现的放热峰可归因于胶体碳球模板的去除, 因此实验中选择了略高于该温度的处理温度(500 $^{\circ}\text{C}$ )作为去除碳球模板的煅烧温度。这主要是由于碳球模板的分解。在 612.8 $^{\circ}\text{C}$  附近前驱体合成  $\text{ZrW}_2\text{O}_8$ , 因而出现放热峰。

### 2.4 $\text{ZrW}_2\text{O}_8$ 空心球的成型机理

由于  $\text{ZrW}_2\text{O}_8$  前驱体凝胶的稳定网状架构的存在, 所得到的包覆层厚度大。因此胶体碳球 -  $\text{ZrW}_2\text{O}_8$  前驱体壳核结构的粒径较大, 透射电镜电子束无法穿过包覆层得到壳核结构的直接图像。但是通过 TG - DTA 与 FTIR 分析发现, 包覆后胶体碳球表面出现  $\text{ZrW}_2\text{O}_8$  前驱体的红外吸收峰。同时, 479.0 $^{\circ}\text{C}$  去除碳球模板的放热峰与 612.8 $^{\circ}\text{C}$  处合成  $\text{ZrW}_2\text{O}_8$  吸热峰的出现, 证明了胶体碳球 -  $\text{ZrW}_2\text{O}_8$  前驱体壳核结构的存在。煅烧后胶体碳球模板完全去除, 得到单一立方相  $\text{ZrW}_2\text{O}_8$ , 测定出产物的密度为 2.8  $\text{g}/\text{cm}^3$ , 比用溶胶凝胶法直接制备的  $\text{ZrW}_2\text{O}_8$  粉体减小约 45%, 也佐证了  $\text{ZrW}_2\text{O}_8$  空心结构的存在。

图 6 给出了  $\text{ZrW}_2\text{O}_8$  空心球合成的示意图。首先, 胶体碳球球核是通过水热合成一步制备得到的, 其表面具有良好的亲水性并分布有大量的羧基与羟基, 这使得吸附金属离子成为可能。用超声分散将碳球分散在  $\text{ZrW}_2\text{O}_8$  前驱体溶胶中, 两种金属阳离子 ( $\text{Zr}^{2+}$ ,  $\text{W}^{6+}$ ) 一层一层的吸附于胶体碳球表面。前驱体在模板表面异相沉积, 形成胶体碳球/ $\text{ZrW}_2\text{O}_8$  前驱体壳核复合结构粒子, 这个过程称为预吸附。最后, 用简单的煅烧过程除去中间的碳球模板并将前驱体转变为纯相  $\text{ZrW}_2\text{O}_8$ , 即得到了空心球结构。

### 2.5 $\text{ZrW}_2\text{O}_8$ 空心球的负膨胀性能

图 7 给出了溶胶凝胶法制备的  $\text{ZrW}_2\text{O}_8$  粉体在不同温度下的 XRD 谱。由局部放大图(图 7b)可见, 随

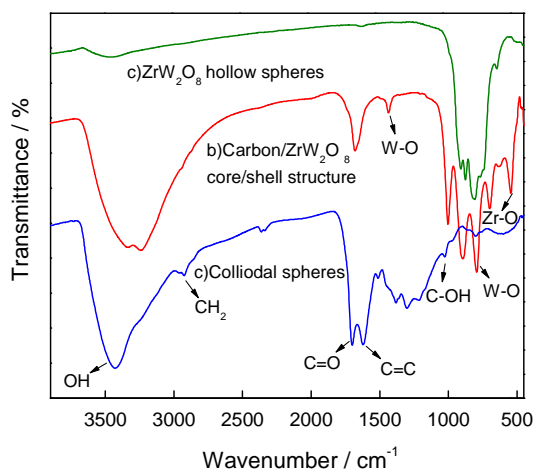


图3 胶体碳球、胶体碳球 -  $\text{ZrW}_2\text{O}_8$  前驱体以及  $\text{ZrW}_2\text{O}_8$  空心球的红外光谱

Fig.3 Infrared spectroscopy of colloidal carbon spheres (a), precursors of carbon spheres-  $\text{ZrW}_2\text{O}_8$  core-shell structure (b) and  $\text{ZrW}_2\text{O}_8$  hollow spheres (c)

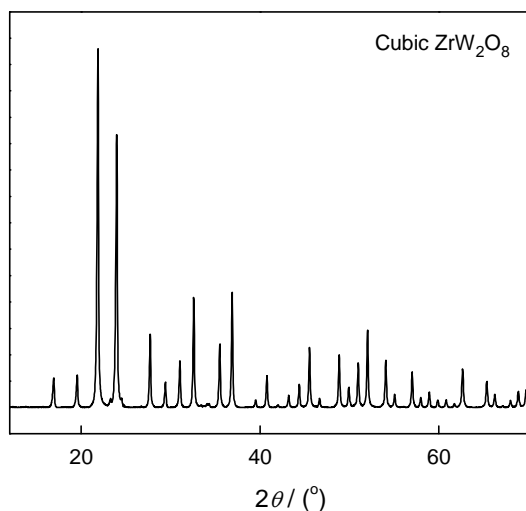


图4  $\text{ZrW}_2\text{O}_8$  空心球粉体的 XRD 谱

Fig.4 XRD spectrum of  $\text{ZrW}_2\text{O}_8$  hollow spheres

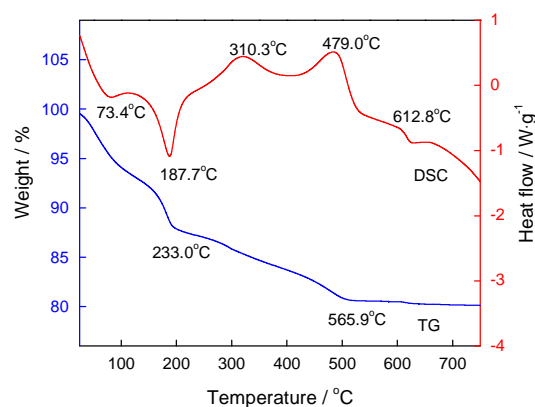


图5 胶体碳球 -  $\text{ZrW}_2\text{O}_8$  前驱体壳核结构的 TG-DTA 曲线

Fig.5 TG-DTA curves of precursors of carbon spheres-  $\text{ZrW}_2\text{O}_8$  core-shell structure

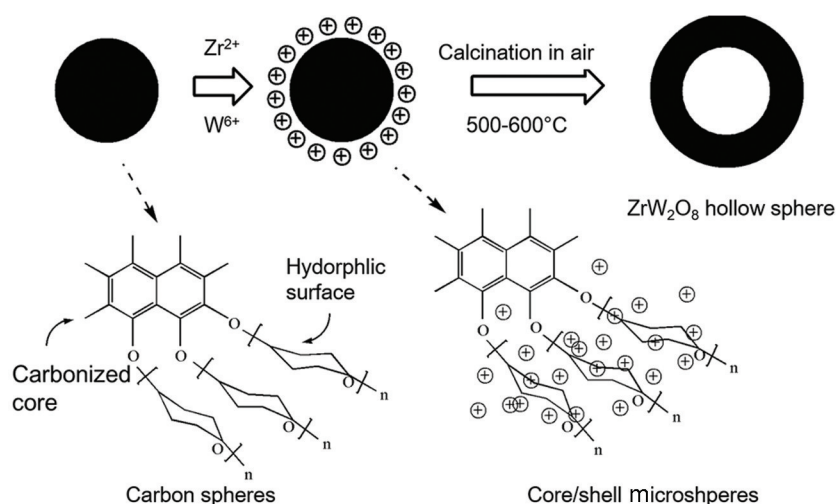
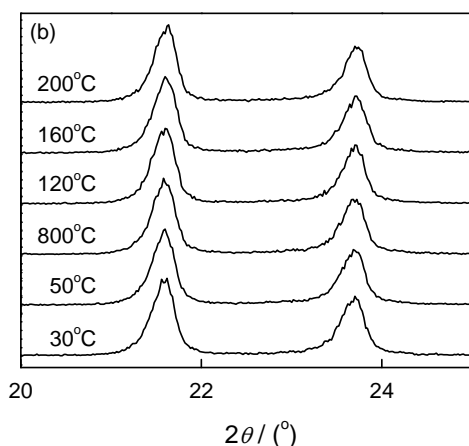
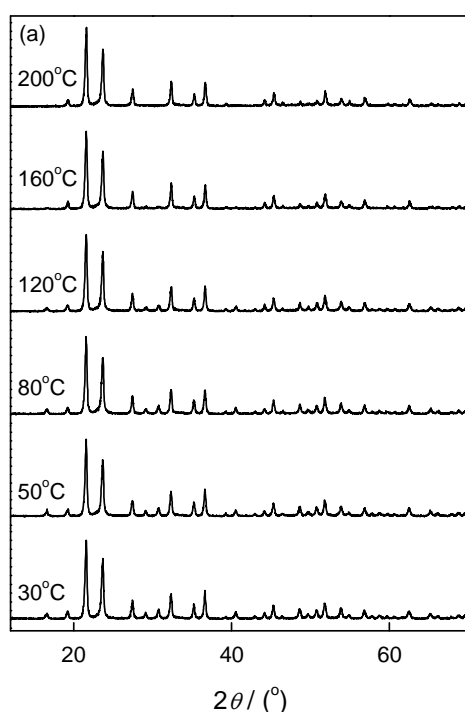
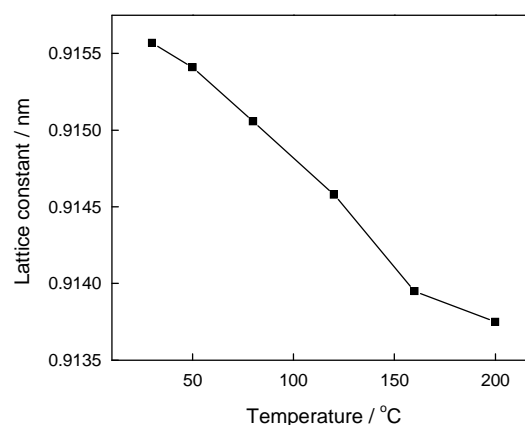
图6 以胶体碳球为模板合成  $\text{ZrW}_2\text{O}_8$  空心球的过程Fig.6 Processing procedure used for preparing  $\text{ZrW}_2\text{O}_8$  particles by carbon spheres templates/sol-gel methods

图7  $\text{ZrW}_2\text{O}_8$  空心球粉体在不同温度下的衍射谱  
Fig.7 XRD spectra of  $\text{ZrW}_2\text{O}_8$  hollow spheres at different temperatures, (a) 30–200°C, (b) 20–25°C

图8  $\text{ZrW}_2\text{O}_8$  粉体的晶胞参数与温度关系曲线Fig.8 Temperature dependence on lattice constant of  $\text{ZrW}_2\text{O}_8$  powders

随着衍射温度的升高,  $\text{ZrW}_2\text{O}_8$  粉体衍射峰缓慢向右方偏移。这表明,  $\text{ZrW}_2\text{O}_8$  晶胞体积随着温度的升高而收缩。

精确收集变温 XRD 的数据, 使用 POWDER X 软件<sup>[26]</sup>计算  $\text{ZrW}_2\text{O}_8$  粉体的晶胞参数, 并绘出晶胞参数与温度的曲线关系(图8)。由图8可见, 颗粒越小晶胞参数相应减小。线性拟合的结果表明, 用溶胶凝胶法制备的粉体其负膨胀系数比文献报道的高, 在室温至 200°C 温度范围内的平均热膨胀系数为  $-11.4 \times 10^{-6} \text{K}^{-1}$ 。这与制备方法及所选温度区间有关, 在 157°C 发生有序-无序相转变, 膨胀系数在相变点出现拐点。

### 3 结 论

1. 使用表面活性基团的胶体碳球作为模板, 用溶胶-凝胶法可制备  $\text{ZrW}_2\text{O}_8$  的中空结构。以胶体碳球作为模板时, 由于其表面大量存在的羟基和羧基等, 可免于进行表面修饰而直接与离子发生吸附作



用;用溶胶-凝胶法制备的前驱体凝胶具有稳定的网状结构,可通过简单的包覆过程与胶体碳球形成壳核结构。

2. 溶胶-凝胶法可降低  $\text{ZrW}_2\text{O}_8$  的合成温度,而作为模板的胶体碳球可在煅烧过程中除去,在  $610^\circ\text{C}$  热处理 10 h 即可得到单一相  $\text{ZrW}_2\text{O}_8$  空心球结构。实验所得  $\text{ZrW}_2\text{O}_8$  空心球密度为  $2.8\text{ g/cm}^3$ ,降低约 45%;  $\text{ZrW}_2\text{O}_8$  空心球具有良好的负热膨胀特性,由于粉体颗粒较小其负膨胀系数比理论值略有降低,在室温至  $200^\circ\text{C}$  平均热膨胀系数为  $-11.4\times 10^{-6}\text{K}^{-1}$ 。

#### 参考文献

- 1 H. Tanaka, Thermodynamic stability and negative thermal expansion of hexagonal and cubices, *The Journal of Chemical Physics*, **108**(12), 4887(1998)
- 2 L. A. Noailles, H. H. Peng, J. Starkovich, B. Dunn, Thermal expansion and phase formation of  $\text{ZrW}_2\text{O}_8$  aerogels, *Chemistry Materials*, **16**(7), 1252(2004)
- 3 J. S. O. Evans, T. A. Mary, A. W. Sleight, Negative thermal expansion in a large molybdate and tungstate family, *Journal of Solid State Chemistry*, **133**(1), 580(1997)
- 4 J. S. O. Evans, T. A. Mary, A. W. Sleight, T. Vogt, M. A. Subramanian, Negative Thermal Expansion in  $\text{ZrW}_2\text{O}_8$  and  $\text{HfW}_2\text{O}_8$ , *Chemistry Materials*, **8**(12), 2809(1996)
- 5 L. L. Y. Chang, M. G. Scroger, B. J. Philips, Condensed phase relations in the systems  $\text{ZrO}_2$ - $\text{WO}_2$ - $\text{WO}_3$  and  $\text{HfO}_2$ - $\text{WO}_2$ - $\text{WO}_3$ , *Journal of American Ceramics Society*, **50**(4), 211(1967)
- 6 A. P. Wilkinson, C. Lind, S. Pattanaik, A new polymorph of  $\text{ZrW}_2\text{O}_8$  prepared using nonhydrolytic sol-gel chemistry, *Chemistry Materials*, **11**(1), 101(1999)
- 7 E. Niwa, S. Wakamiko, T. Ichikawa, Preparation of dense  $\text{ZrW}_2\text{O}_8/\text{ZrO}_2$  co sintered ceramics with controlled thermal expansion coefficients, *Journal of The Ceramics Society of Japan*, **112**(1305), 271(2004)
- 8 J. Jang, K. Lee, Facile fabrication of hollow polystyrene nanocapsules by microemulsion polymerization, *Chemical Communications*, **10**, 1098(2002)
- 9 N. A. Dhas, K. S. Suslick, Sonochemical preparation of hollow nanospheres and hollow nanocrystals, *Journal of American Chemistry Society*, **127**(8), 2368(2005)
- 10 Q. Peng, Y. J. Dong, Y. D. Li, ZnSe semiconductor hollow microspheres, *Angewandte Chemistry International Edition*, **42**(26), 3027(2003)
- 11 H. J. Hah, J. S. Kim, B. J. Jeon, Simple preparation of monodisperse hollow silica particles without using templates, *Chemical Communications*, **14**, 1712(2003)
- 12 F. Caruso, M. Spasova, A. Sussha, M. Giersig, R. A. Caruso, Magnetic nanocomposite particles and hollow spheres constructed by a sequential layering approach, *Chemistry Materials*, **13**(1), 109(2001)
- 13 F. Caruso, X. Shi, R. A. Caruso, A. Sussha, Hollow titania spheres from layered precursor deposition on sacrificial colloidal core particles, *Advanced Materials*, **13**(10), 740(2001)
- 14 J. Peng, J. F. Bertone, V. L. Colvin, A lost-wax approach to monodisperse colloids and their crystals, *Science*, **291**, 453(2001)
- 15 H. Shiho, N. J. Kawahashi, Iron compounds as coatings on polystyrene latex and as hollow spheres, *Journal of Colloid and Surface Science*, **226**(1), 91(2000)
- 16 X. M. Sun, Y. D. Li, Colloidal carbon spheres and their core/shell structures with noble-metal nanoparticles, *Angewandte Chemistry International Edition*, **43**(5), 597(2004)
- 17 X. M. Sun, Y. D. Li,  $\text{Ga}_2\text{O}_3$  and GaN semiconductor hollow spheres, *Angewandte Chemistry International Edition*, **43**(29), 3827(2004)
- 18 X. L. Li, T. J. Lou, X. M. Sun, Y. D. Li, Highly sensitive  $\text{WO}_3$  hollow-sphere gas sensors, *Inorganic Chemistry*, **43**(17), 5442(2004)
- 19 R. Z. Yang, H. L. Hong, X. P. Qiu, L. Q. Chen, A spontaneous combustion reaction for synthesizing Pt hollow capsules using colloidal carbon spheres as templates, *Chemistry- A European Journal*, **12**(15), 4083(2006)
- 20 Y. C. Liu, X. P. Qiu, Y. Q. Huang, W. T. Zhu, Methanol electro-oxidation on mesocarbon microbead supported Pt catalysts, *Carbon*, **40**(13), 2375(2002)
- 21 F. X. Xie, Z. Q. Tian, H. Meng, P. K. Shen, K. Pei, Increasing the three-phase boundary by a novel three-dimensional electrode, *Journal of Power Sources*, **141**(2), 211(2005)
- 22 R. Z. Yang, X. P. Qiu, H. R. Zhang, J. Q. Li, W. T. Zhu, Z. X. Wang, X. J. Huang, L. Q. Chen, Monodispersed hard carbon spherules as a catalyst support for the electrooxidation of methanol, *Carbon*, **43**(1), 11(2005)
- 23 Q. Wang, H. Li, L. Q. Chen, X. J. Huang, Novel spherical microporous carbon as anode material for Li-ion batteries, *Solid State Ionics*, **152**, 43(2002)
- 24 V. K. La Mer, Nucleation in phase transitions, *Industrial and Engineering Chemistry*, **44**(6), 1270(1952)
- 25 T. R. Ravindran, Akhilesh. K. Arora, T. A. Mary, High-pressure Raman spectroscopic study of zirconium tungstate, *Journal of Physics: Condensed Matter*, **13**(50), 11573(2001)
- 26 C. Dong, PowderX: Windows-95-based program for powder X-ray diffraction data processing, *J. Appl. Cryst.*, **32**, 838(1999)